

无线数字传输技术下斗轮机远程自动化控制方法研究

陆春宏 谢华椿 李永忠 张 钊 张佳兴 龙滩水电开发有限公司合山发电公司 广西 玉林 546500

【摘 要】:在斗轮机作业控制领域,传统方法多依赖有线连接实现控制,存在控制效率低下、易受外部环境干扰导致控制结果偏离预设目标的问题。因此,提出了无线数字传输技术下斗轮机远程自动化控制方法研究。首先建立斗轮机作业场景模型,模拟实际作业环境,使后续工作更具针对性和实用性;设计斗轮机自动化控制指令,明确斗轮机在不同作业情况下的操作要求;将设计好的自动化控制指令通过无线数字传输技术发送至斗轮机,实现远程自动化控制。实验结果表明,该方法应用后,斗轮机控制平均响应时间约为3秒,在运行轨迹、速度、取料量等方面的控制结果与预设值偏差较小,显著提高了斗轮机的控制精度和效率,能够更好地满足现代工业对斗轮机高效、精准作业的需求。

【关键词】: 无线数字传输技术; 斗轮机; 远程; 自动化; 控制

DOI:10.12417/2811-0722.25.10.004

引言

斗轮机是港口、电厂、矿山等行业中用于装卸材料的重要装备,其远程自动控制对提高生产效率和保证生产安全具有重要意义。目前,国内对斗轮机远程控制的研究虽已取得一定成绩,但还存在一些问题。其中,文献^[1]提出的研究思路是在斗轮机上加装数据采集模块,利用数据处理与分析实现自动控制,但其工作效率较低,易受外界干扰。文献^[2]已有研究利用PLC 编程控制各环节,实现各机构的自动运行,但其对复杂环境的适应性有限,致使控制效果与设计目标偏差。

无线数字传输技术的特点是速度快、抗干扰能力强,而且 安装和维护都很方便,这使得该项技术成为实现斗轮机远程自 动化控制的一种新选择^[3]。在此技术支持下,斗轮机能够实时 与远程控制系统进行有效通信,接收并执行来自远端的指令, 从而达成远程自动化控制的目标。基于这一背景,本文研究了 在无线数字传输技术支持下的斗轮机远程自动化控制方法,以 期提升斗轮机在自动化控制方面的质量水平。

1 建立斗轮机作业场景模型

在斗轮机作业场景模型建立的过程中,首先,收集斗轮机作业的各类资料,包括斗轮机的技术参数、作业场地的地形地貌以及物料特性^[4]。其次,建立斗轮机作业的数学模型。其中,斗轮机的运动规律可以用运动学方程来描述,如下所示:

$$x(t) = x_0 + v_{0x}t + \frac{1}{2}a_xt^2$$
 (1)

其中, v_{0x} 是斗轮机在行走方向上的初始速度分量; a_x 是行走方向上的加速度;x(t)是斗轮机在行走方向上的位移;t

斗轮机运行时间。

物料的流动特性则采用连续性方程来描述,如下:

$$\frac{\partial \rho}{\partial t} + \nabla \cdot (\rho \vec{v}) = 0 \tag{2}$$

其中,ho 是物料的密度, \vec{v} 是物料的流动速度, $\nabla \cdot$ 是散度算子。

通过建立的作业场景模型,能够精确描述斗轮机的运动规律和物料的流动特性。该模型为后续的控制指令设计提供了一个虚拟的、但接近实际的作业环境,使后续的控制指令设计更具针对性和实用性。

2 设计斗轮机自动化控制指令

基于建立的作业场景模型,分析斗轮机在不同作业场景下的任务需求,确定每种作业任务的具体要求,如下表1所示。

表 1 不同作业场景下的作业需求

序号	作业场景	作业需求	
1	取料作业	取料量误差控制在±5%以内;取料速度稳定在2-3m/s;斗轮与物料堆的接触压力保持在10-15kN以确保高效且安全的取料操作。	
2	堆料作业	堆料高度误差不超过±0.5m; 堆料速度控制在1.5-2.5m/s; 物料堆的坡度保持在30°-35°, 保证物料堆的稳定性,防止物料滑落。	
3	移动作业	移动速度在 0-5m/s 可调;定位精度达到±0.1m,以 满足不同作业场景下的位置需求。	

根据作业任务的需求,将斗轮机的作业过程划分为不同的 阶段和状态,包括启动阶段、正常运行阶段、暂停阶段、停止 阶段等^[5]。针对不同的作业阶段和状态,设计相应的自动化控 制指令,如下表 2 所示。

中图分类号:TM714.3 文献标识码:A



表 2 斗轮机自动化控制指令设计

作业阶段	指令	设计			
启动阶段	设备初始化指	向斗轮机的各个执行机构发送初始化信 号,使设备恢复到初始状态。			
	启动顺序指令	按照设备自定的顺序依次启动斗轮机的 各个系统。			
正常运行阶 段	取料作业指令	向斗轮驱动电机、悬臂回转电机发送转速 控制指令、角度控制指令。			
	堆料作业指令	向悬臂俯仰电机发送角度控制指令,向斗 轮驱动电机发送转速和转向控制指令。			
	移动作业指令	向行走电机发送速度和方向控制指令。			
暂停阶段	暂停作业指令	向斗轮机的各个执行机构发送停止工作 指令。			
	状态保持指令	向各执行机构发送保持当前状态的指令。			
停止阶段	正常停止指令	按照与启动顺序相反的顺序依次停止斗 轮机的各个系统。			
	紧急停止指令	向所有执行机构发送紧急停止信号,切断 设备的电源。			

确保控制指令具有明确性、可操作性和兼容性,能够准确 指导斗轮机的操作。

基于建立的作业场景模型设计自动化控制指令,能够确保 指令与实际作业情况紧密结合,明确斗轮机在不同作业情况下 的操作要求,为后续的远程自动化控制提供准确的指令基础。

3 无线数字传输技术下斗轮机远程自动化控制

根据斗轮机的作业环境和控制要求,选择工作在 3.5GHz 频段,理论传输速率可达 10Gbps 的无线数字传输设备^[6]。安装和配置选定的无线数字传输设备,搭建如图 1 所示的无线传输网络。

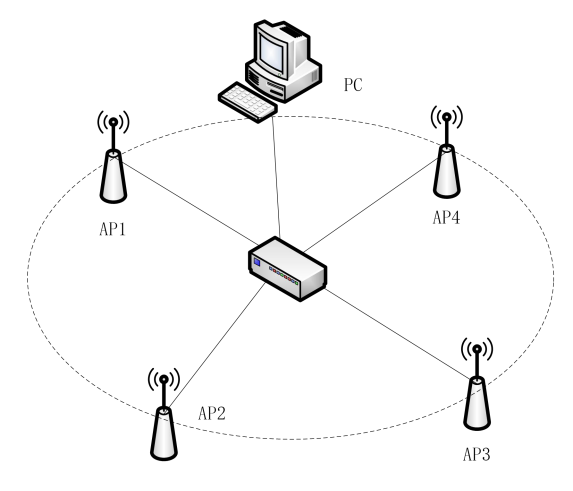


图 1 无线传输网络架构

无线传输网络搭建完成后,采用二进制编码方式,对上文设计好的自动化控制指令进行编码,公式如下:

$$n_c = \left| \frac{\delta}{30} \times \left(2^5 - 1 \right) \right| \quad (3)$$

其中, δ 表示自动化控制指令中的控制参数。将编码后的指令集合 I_c 通过搭建的无线传输网络发送至斗轮机。斗轮机端接收到编码后的指令集合后,需要对其进行解码:

$$\delta = \left\lceil \frac{n_c}{2^5 - 1} \times 30 \right\rceil \tag{4}$$

解码为斗轮机能够识别的控制信号,传输至斗轮机的控制系统,控制斗轮机的各个执行机构,实现斗轮机的远程自动化控制[7]。

通过选择合适的无线数字传输设备、搭建稳定的无线传输 网络、进行指令的编码与解码,实现了斗轮机的远程自动化控制。

4 实验分析

4.1 实验准备

由于在生产现场开展实验会对斗轮机的正常作业造成干扰,进而影响电厂的正常生产,实施难度极大。因此,本研究决定采用实验室实验的方法来验证本文所提出方法的可行性。实验选取了相同型号的三台斗轮机,其具体的规格参数如下表3所示。

表 3 斗轮机规格参数

序号	参数	数值	
1	额定取料能力(t/h)	3000	
2	斗轮直径 (m)	6	
3	悬臂长度 (m)	35	
4	回转速度(r/min)	0.1-0.15	
5	行走速度(m/min)	0-30	

将三台斗轮机划分为 A、B、C 三个实验组。其中,A 组应用本文提出的无线数字传输技术下的自动化控制方法,B 组基于文献^[2]方法实现,C 组则参照文献^[3]方案部署,以此构建对比实验体系。正式实验前,三组设备均执行了全面的试运行,确认各设备功能状态正常,以保障后续对比实验数据的准确性与结果可靠性。

4.2 自动化控制结果

在远程控制中心设置了完全相同的控制指令,包括斗轮机启动、停止、调速、取料等核心操作。同时启动 A、B、C 三组斗轮机,记录每组斗轮机从接收到控制指令到实际开始执行相应动作的时间,即响应时间,并作出对比,结果如下图 2 所示。



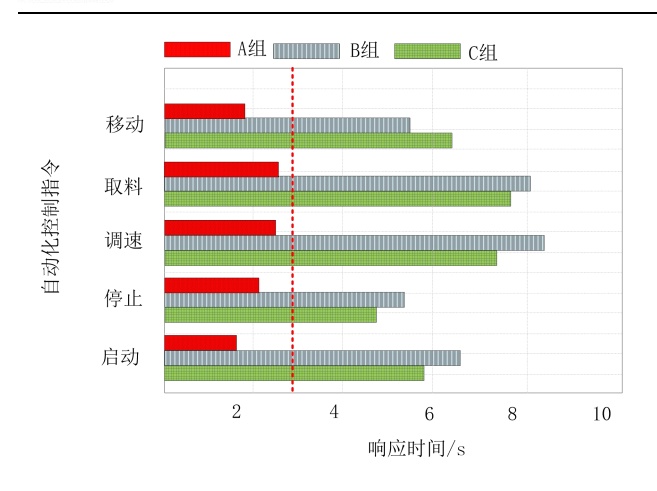


图 2 斗轮机自动化控制响应对比

由图 2 的对比结果可以看出, A 组斗轮机的响应时间明显短于 B 组和 C 组, 平均响应时间约为 3 秒, 而 B 组和 C 组的平均响应时间介于 6 秒-8 秒之间,表明本文提出的控制方法在指令响应速度上具有显著优势。

为更全面地评估三种控制方法的性能表现,模拟设定了远程自动化控制参数的预设值。分别运用这三种控制方法,依据预设值对三组斗轮机展开操作。在操作过程中,借助传感器来收集斗轮机的参数控制结果。待操作全部结束后,把控制所得到的结果与预先设定的值进行对比分析,如下表 4 所示。

表 4 斗轮机远程自动化控制结果

项目	预设值	A组	B组	C 组
运行轨迹 (m)	100	100.5	95	106

速度(m/s)	2	2.02	1.8	2.4
取料量(t)	500	502	490	515

从表 4 的对比结果能够清晰看出,与两种传统控制方法相比,本文提出的基于无线数字传输技术的远程自动化控制方法(A组)表现出显著优势。具体如下:在运行轨迹上,A组的运动误差最小,只有 0.5%,而 B组与 C组的误差为-5%、6%,说明 A组具有较高的操作精度;在速度控制上,A组的偏差为1%,B组和 C组分别为-10%和 20%,说明 A组能较好地保持预定转速;在取料量控制上,A组为 0.4%,B组为-2%,C组为3%,表明 A组的斗轮机给料控制更加稳定、可靠。通过以上研究结果可知,本文提出的基于无线数字传输技术的远程自动化控制方法,不仅能够有效地减小斗轮机的控制偏差,还可以缩短远程自动化控制的响应时间。该方法更符合现代工业生产对斗轮机高效精确操作的需求,是一种值得推广的技术。

5 结语

本文依托无线数字传输技术,对斗轮机远程自动化控制展开了高效设计。整个设计流程紧密衔接,先构建操作情景模型以模拟实际作业环境,再基于该模型设计自动控制指令,最后借助数字无线数字传输技术实现指令的可靠传输与执行。研究结果表明,运用此方法后,斗轮机自动化控制的平均响应时间约为3秒。同时,在各项关键参数的控制上,实际结果均能很好地契合预先设定的要求,偏差较小。因此,本文的研究成果具有重要的理论价值,可为现代工业的发展提供有力的理论支撑。

参考文献:

- [1] 孙超宇. 斗轮机自动化控制系统的设计与实现[J]. 数码精品世界,2023(4):223-225.
- [2] 孙涛朱愈胡振中.基于 PLC 的斗轮机无人值守智能控制策略设计[J].工业仪表与自动化装置,2022(6):100-104.
- [3] 李海涛,薛家阳,李军,等.火电煤场门式斗轮堆取料机自动控制系统的研究及应用[J].自动化应用,2023,64(9):48-50.
- [4] 王海波、王永波、樊玉江、等、基于 5G 专网的臂式斗轮机堆取料自动控制[J].中国宽带,2023,19(9):64-66.
- [5] 张学丽.输煤系统斗轮机控制系统技术改造研究[J].数字化用户,2022(33):89-91.
- [6] 林国栋,陈志钊.煤场斗轮机智能控制研究[J].电力设备管理,2023(10):274-276.
- [7] 张民,方杰,侯小青,等.斗轮机有线/无线双冗余通讯控制系统研究[J].今日自动化,2023(4):16-18.